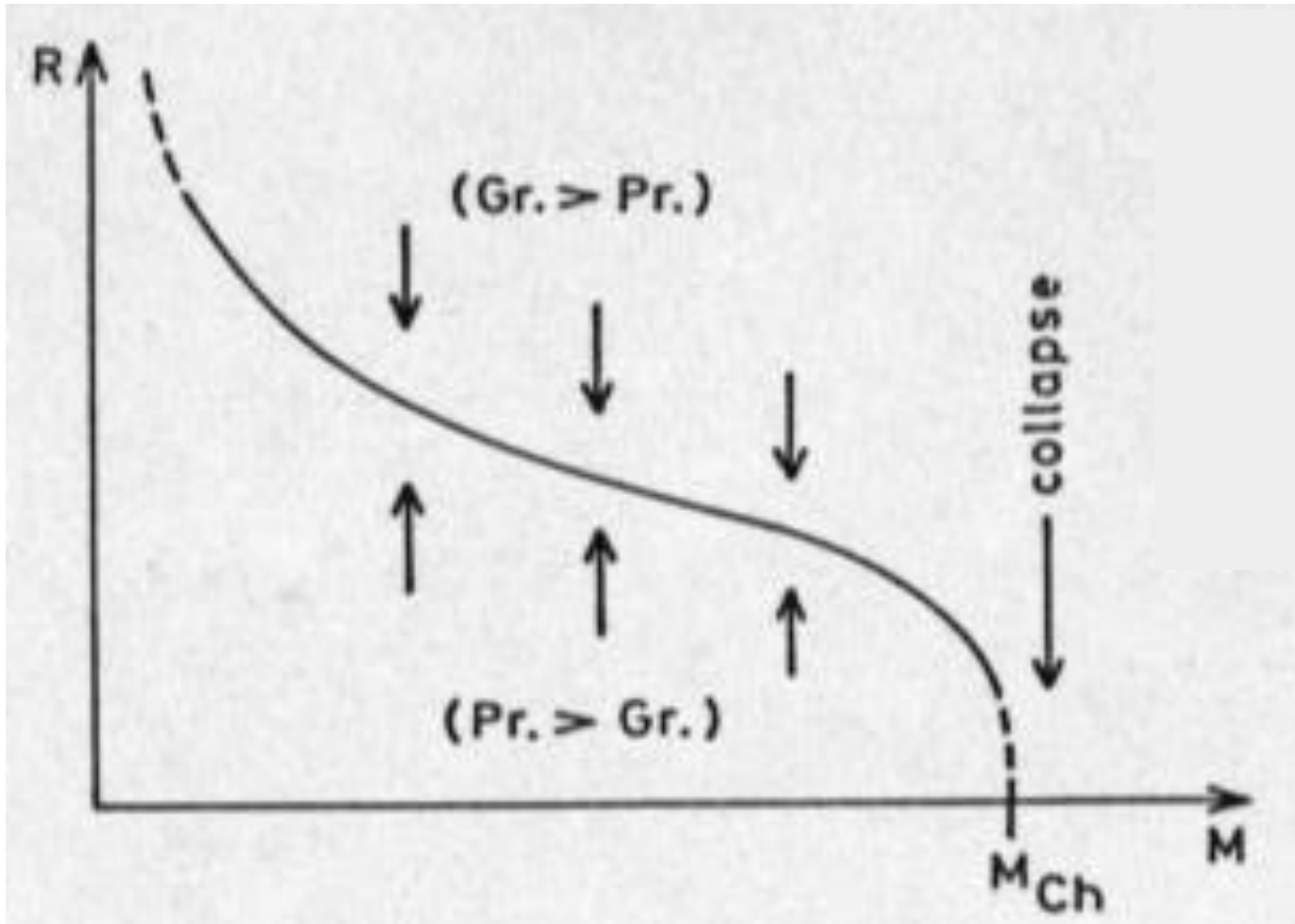


Białe Karły

Zależność masa-promień dla białych karłów według teorii Chandrasekhara

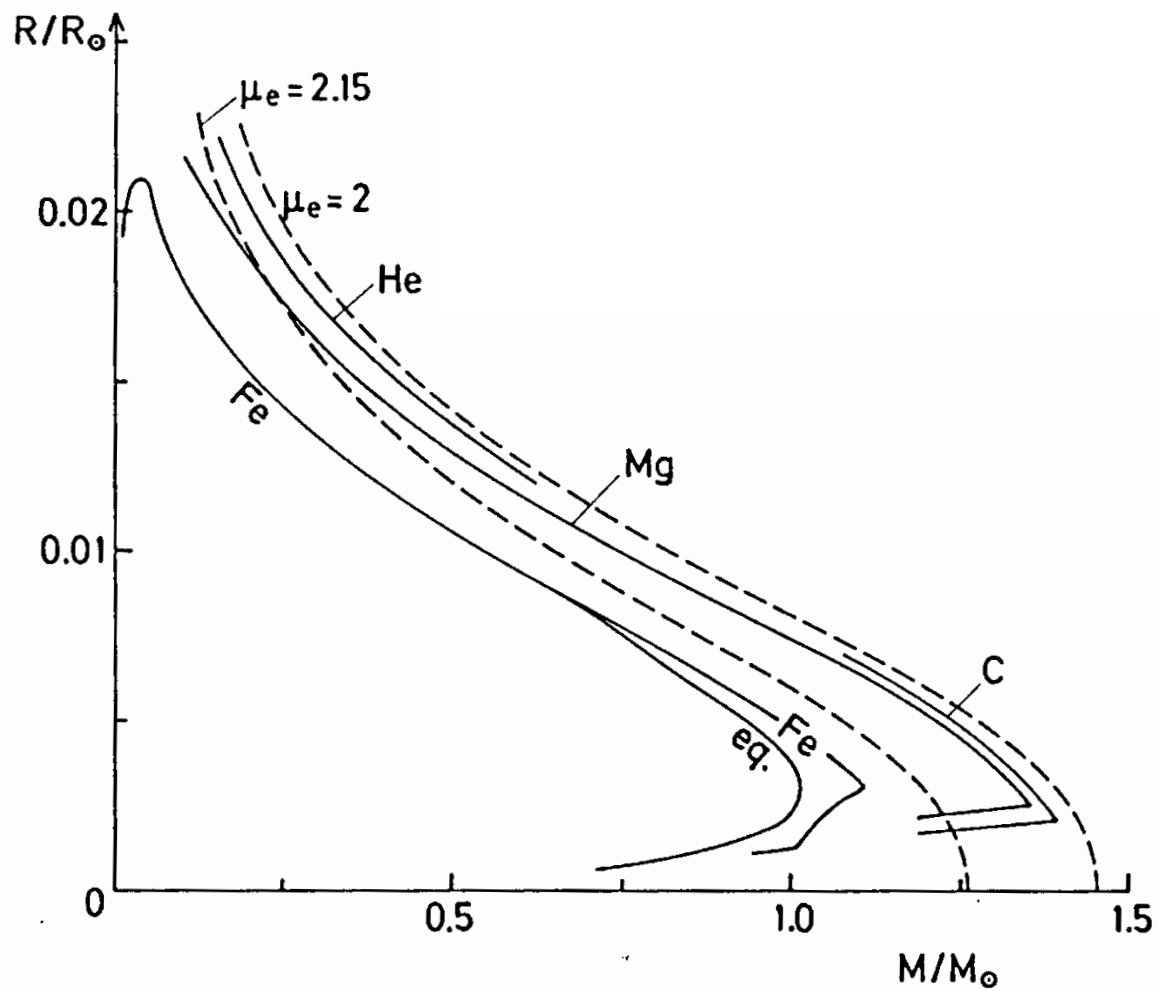
Strzałki – kierunek osiągnięcia równowagi, jeśli siła grawitacji jest większa lub mniejsza od gradientu ciśnienia.



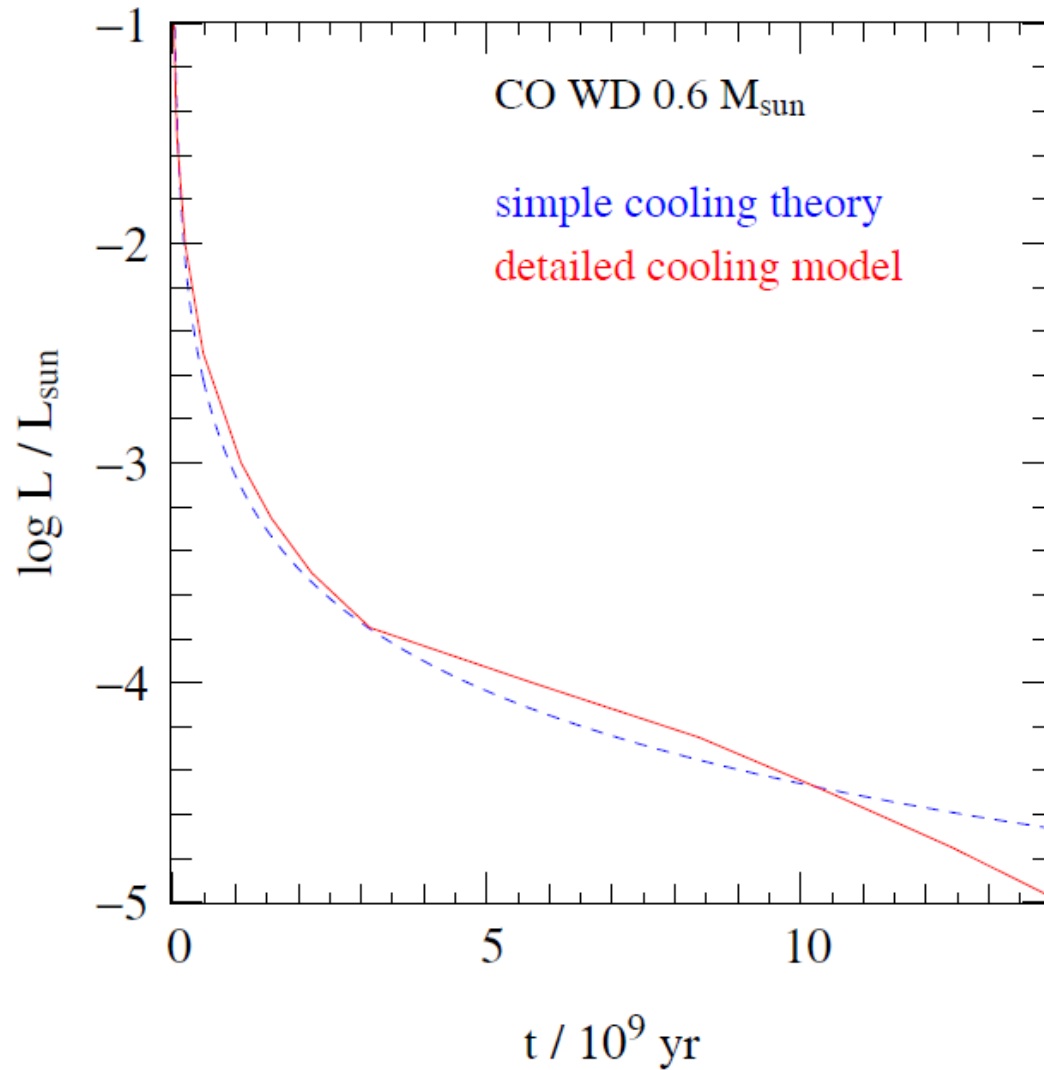
Porównanie numerycznych i analitycznych wartości promieni białych karłów dla $\mu_e = 2$

log ρ_c	M / M_\odot	R / R_\odot		błąd
		numeryczny	analityczny	
4	.04811	.3448	.3446	.0008
5	.14600	.2339	.2335	.0015
6	.39366	.01566	.01558	.0048
7	.80146	.01013	.00997	.0158
8	1.16176	.00619	.00593	.0411
9	1.34619	.00353	.00325	.0803
10	1.41096	.00188	.00165	.1230

Zależności M-R dla białych karłów

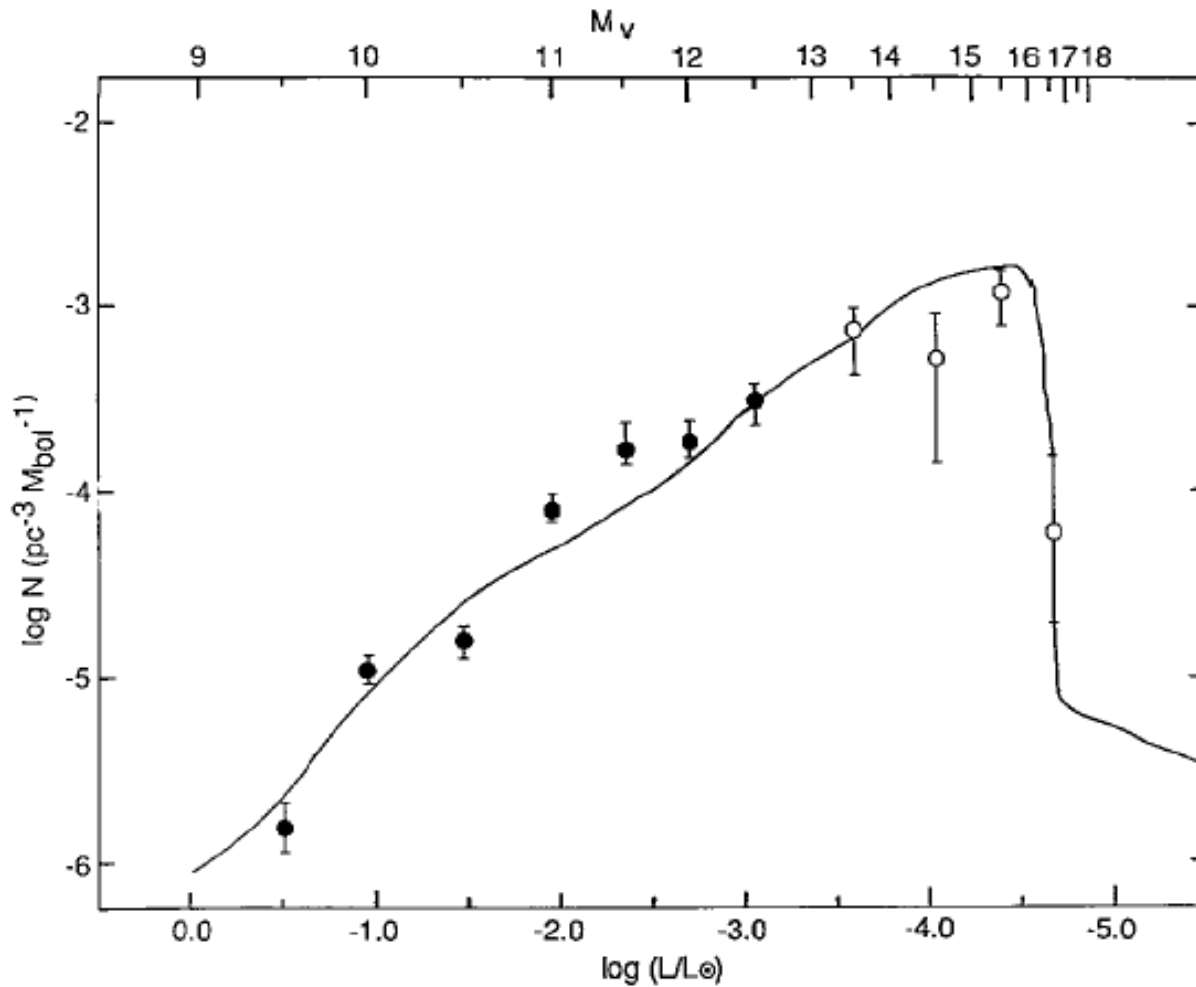


Teoretyczne krzywe chłodzenia dla
białego karła C-O o masie 0.6 M



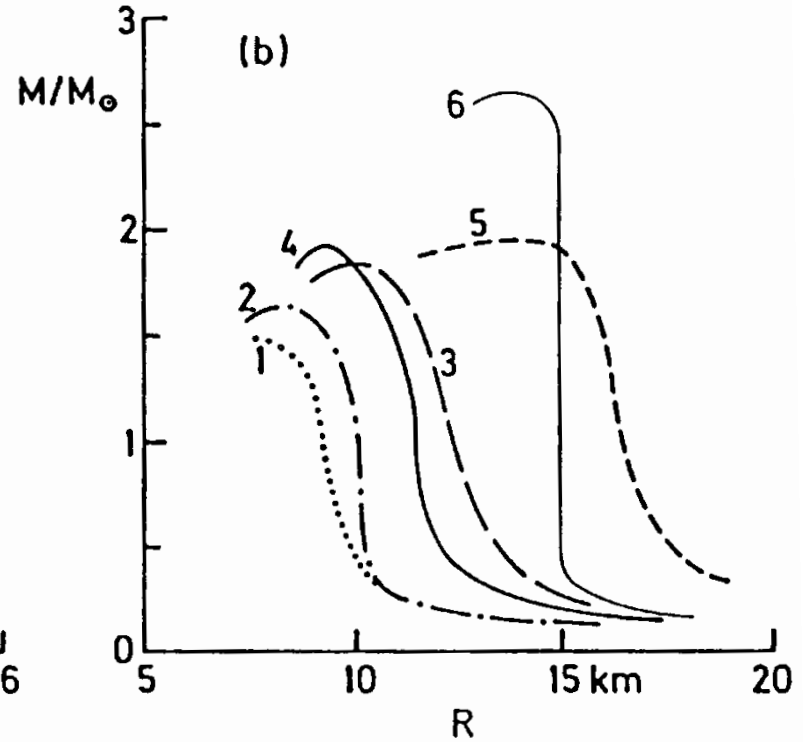
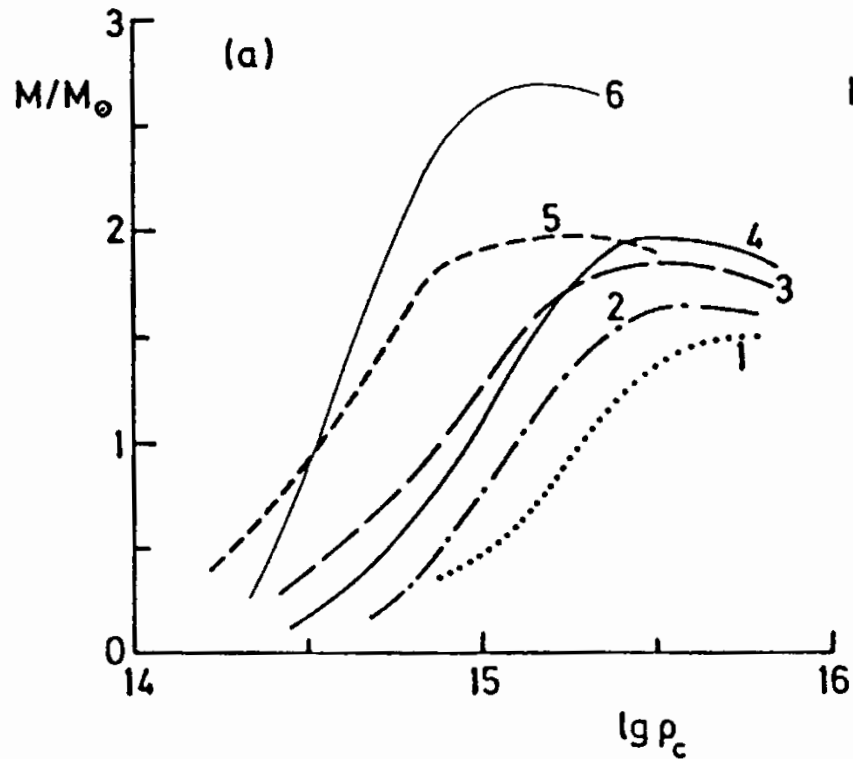
Rozkład jasności białych karłów w dysku galaktycznym

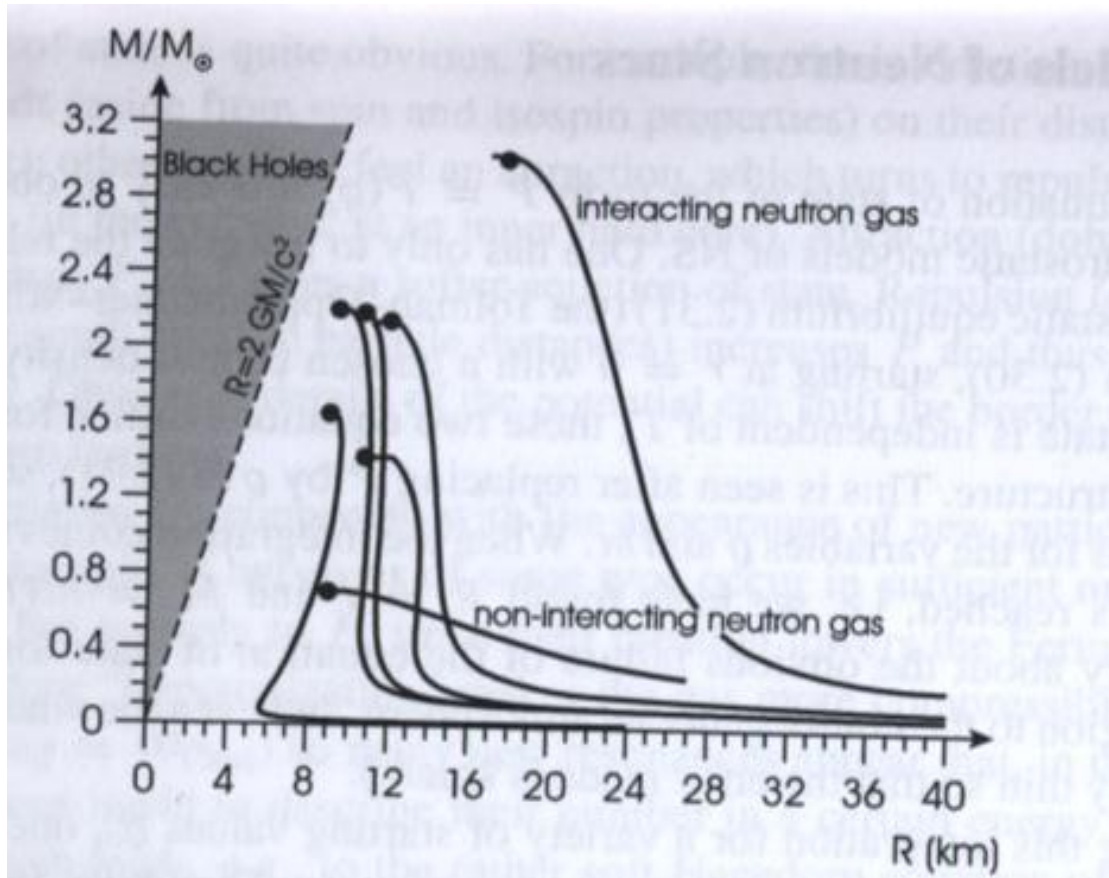
Mała ilość białych karłów mających jasności $\log(L/L_{\odot}) < -4.3$ implikuje wiek dysku galaktycznego 9 ± 2 Gyr.



Gwiazdy neutronowe

Zależności $M - \log \rho_c$ i $M - R$ dla gwiazd neutronowych
wyliczone dla 6 różnych równań stanu





Empirycznie wyznaczone masy gwiazd neutronowych

